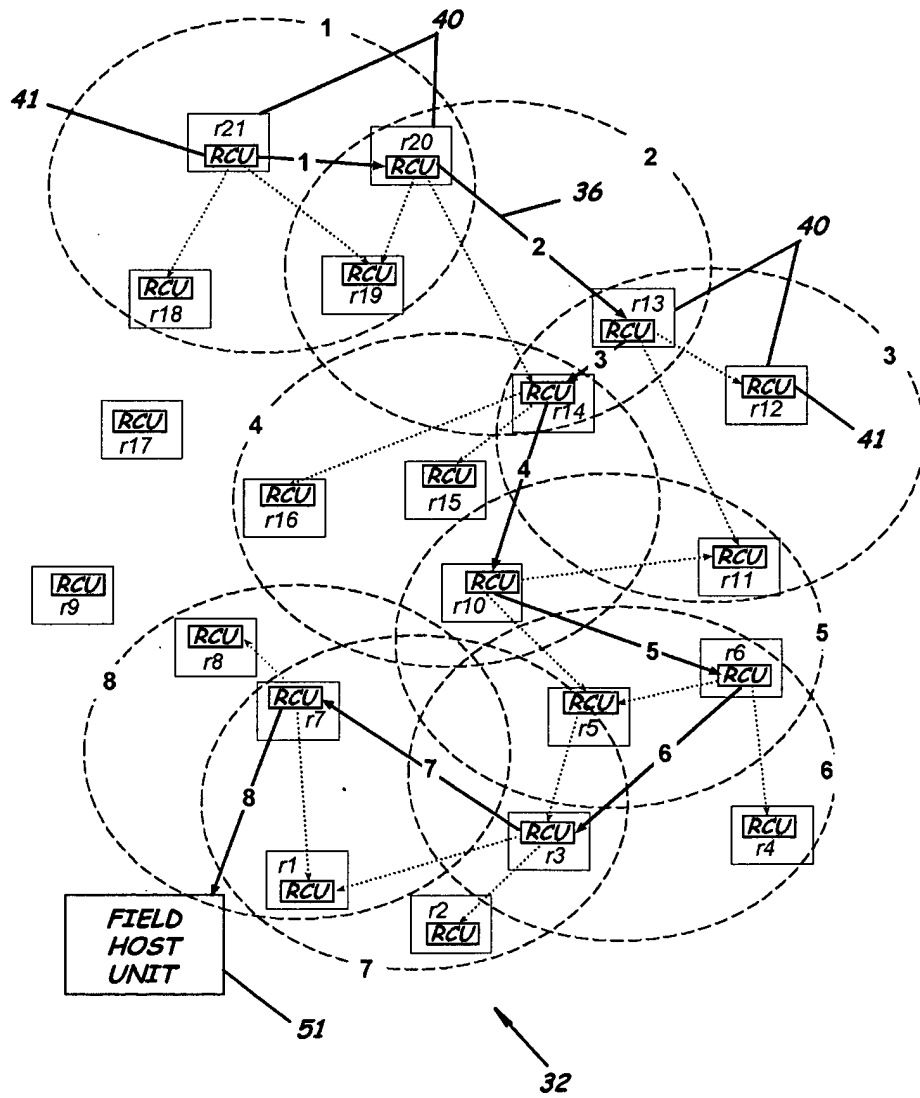
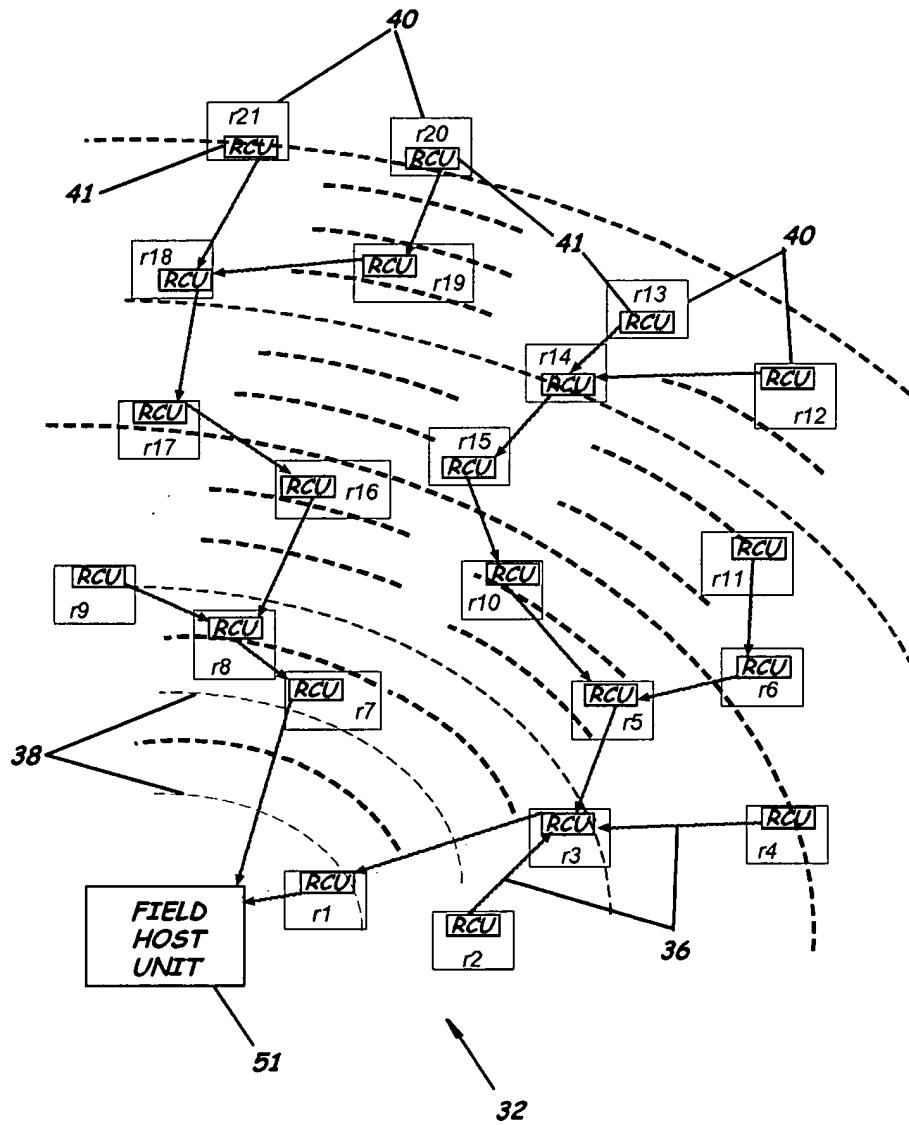
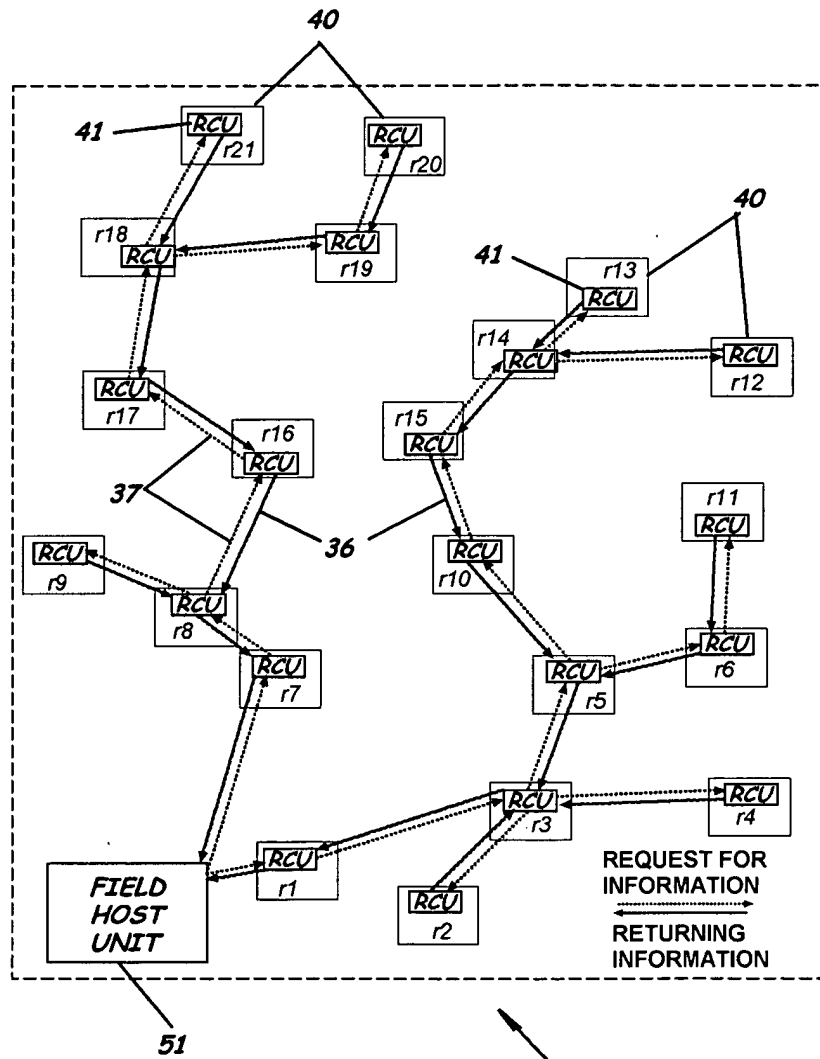
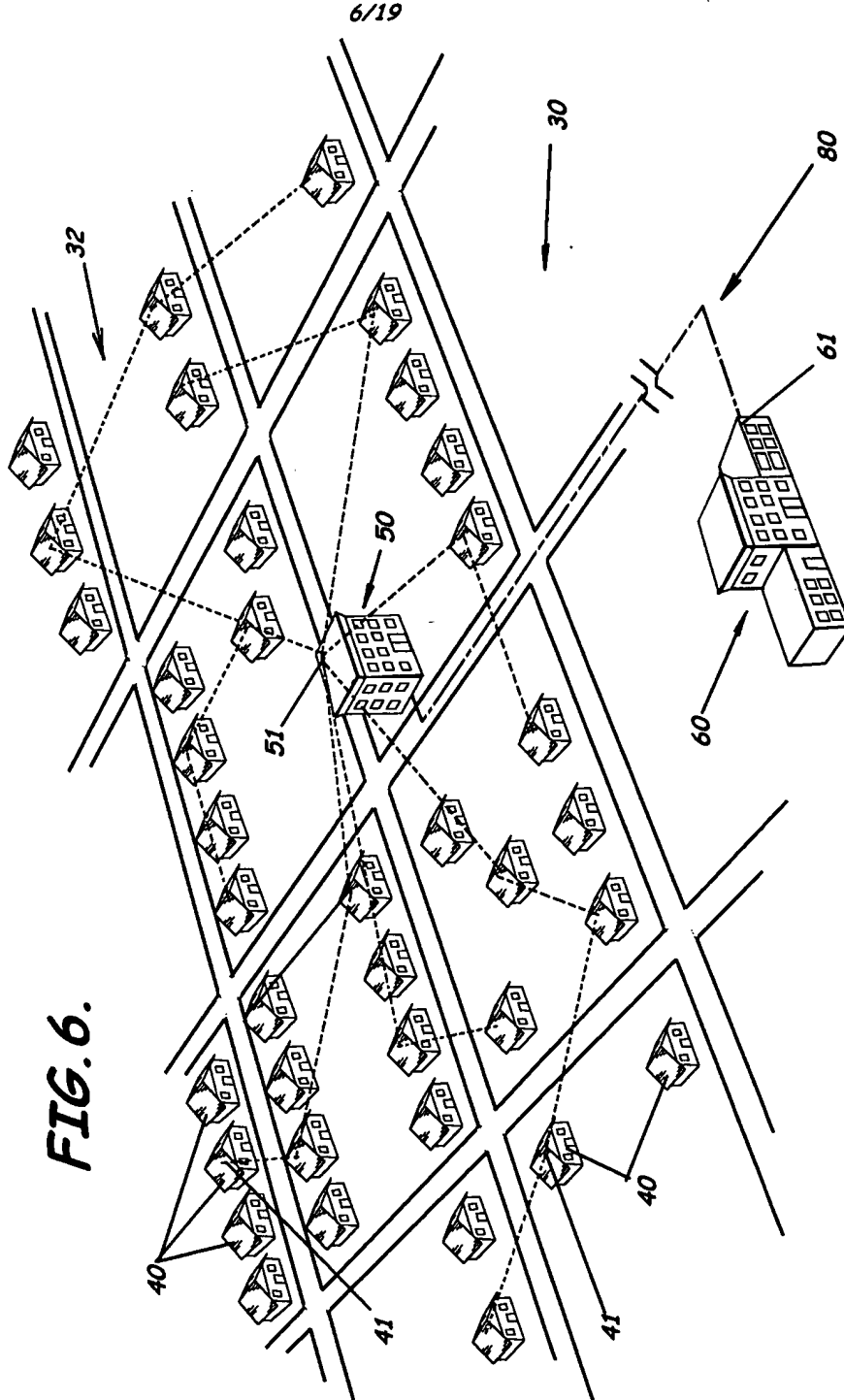
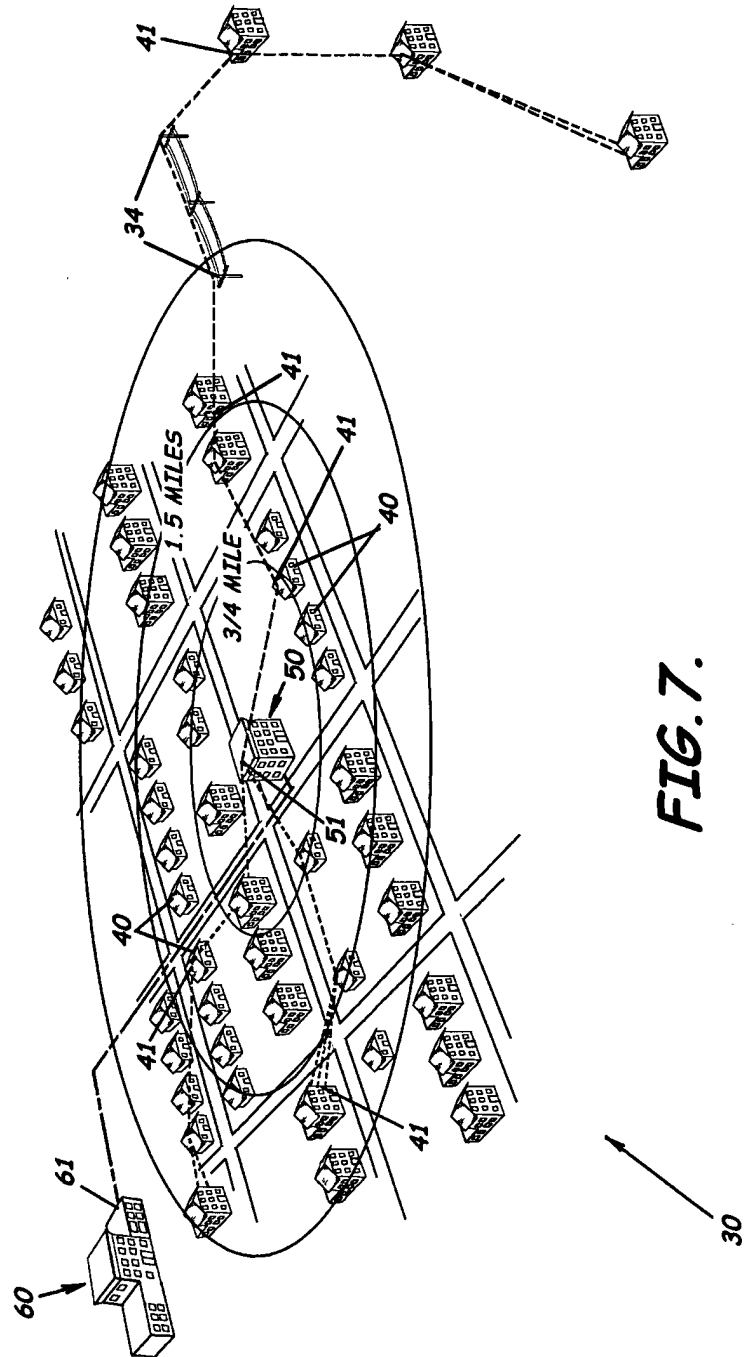


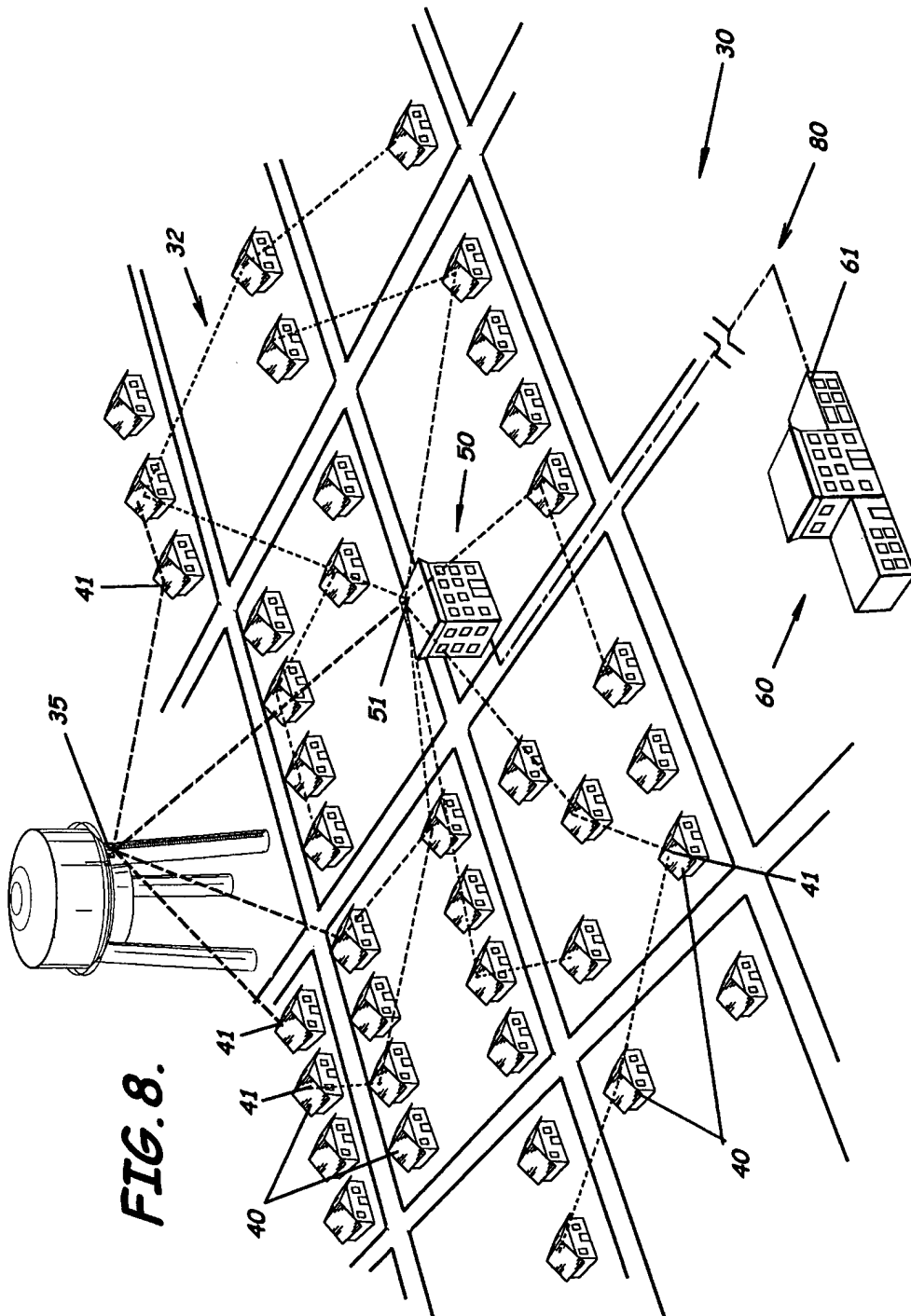
FIG. 3.

**FIG. 4.**

**FIG. 5.**







9/19

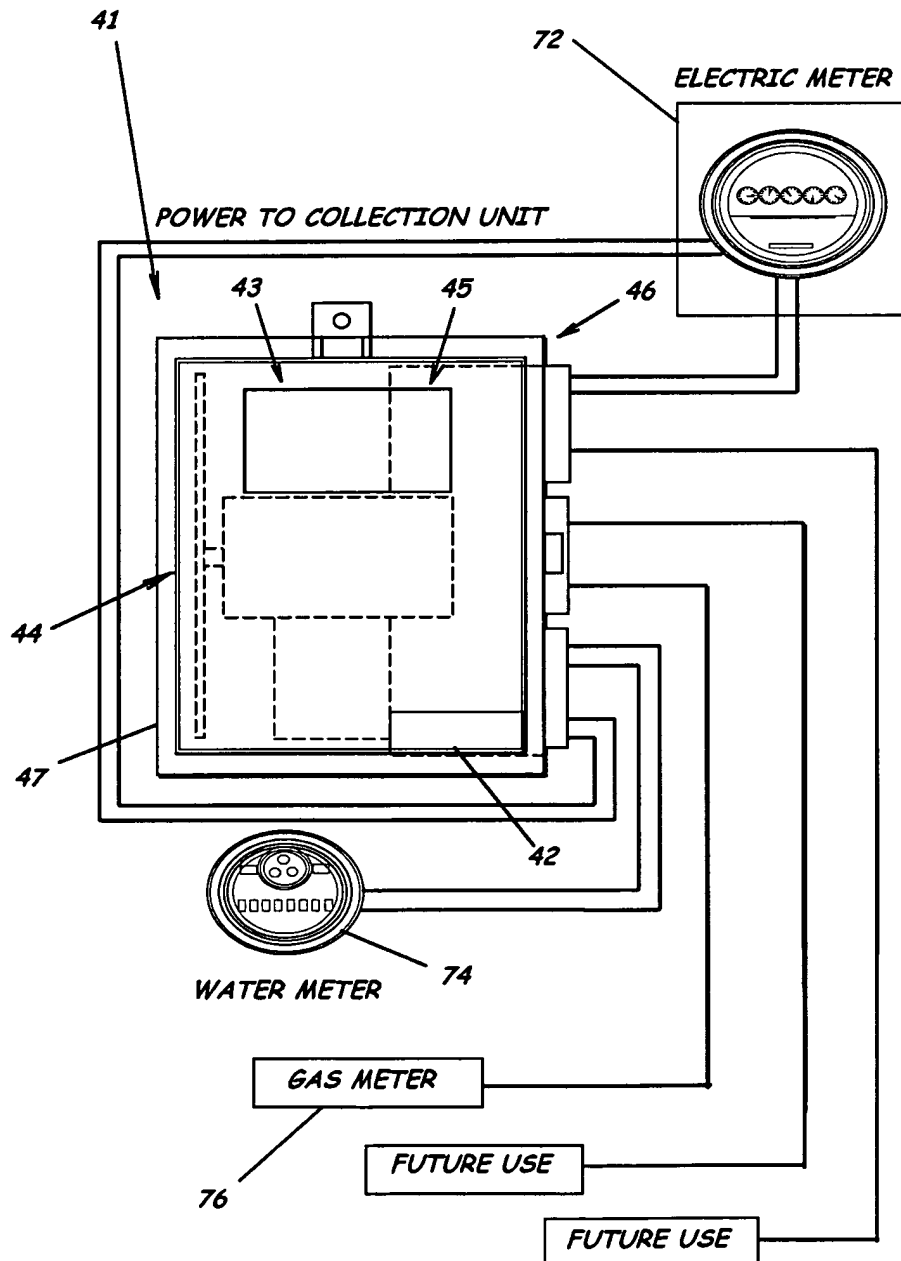


FIG. 9.

10/19

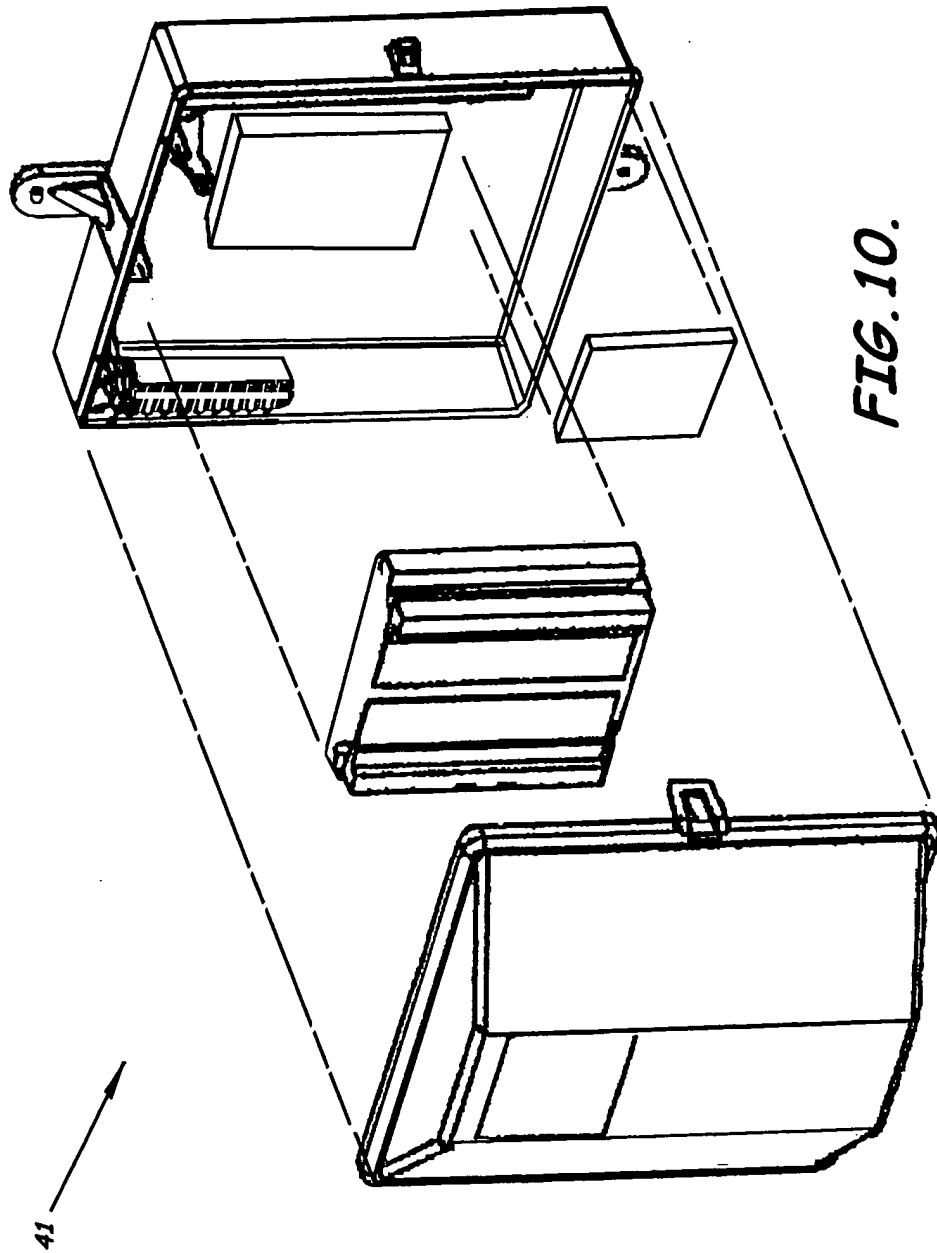


FIG. 10.

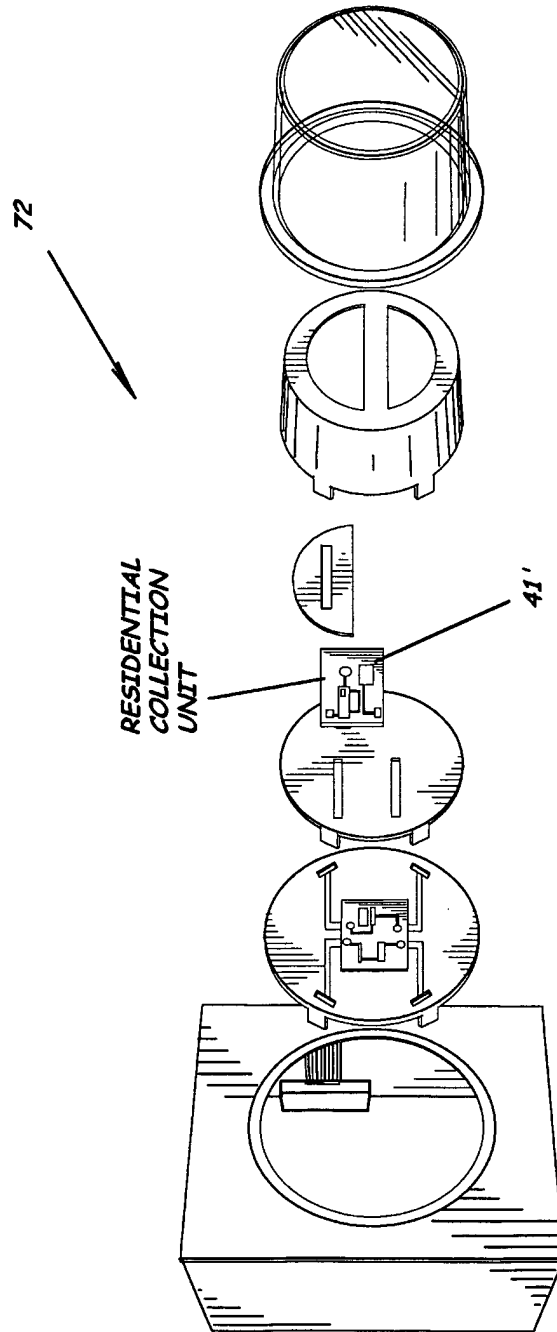


FIG. 11.

12/19

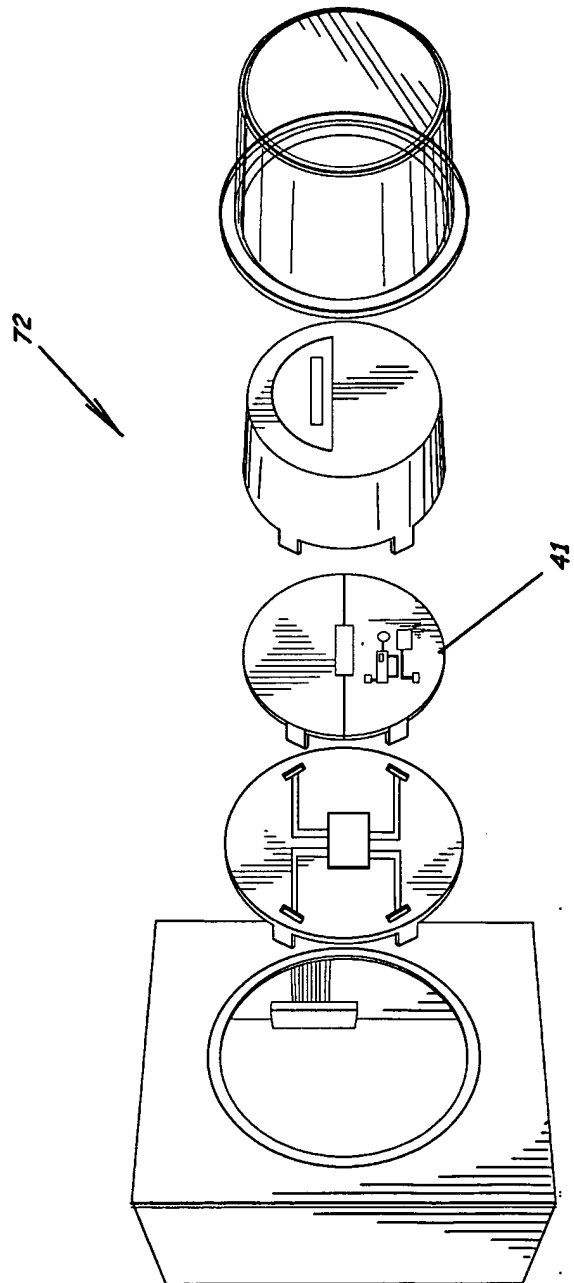


FIG. 12.

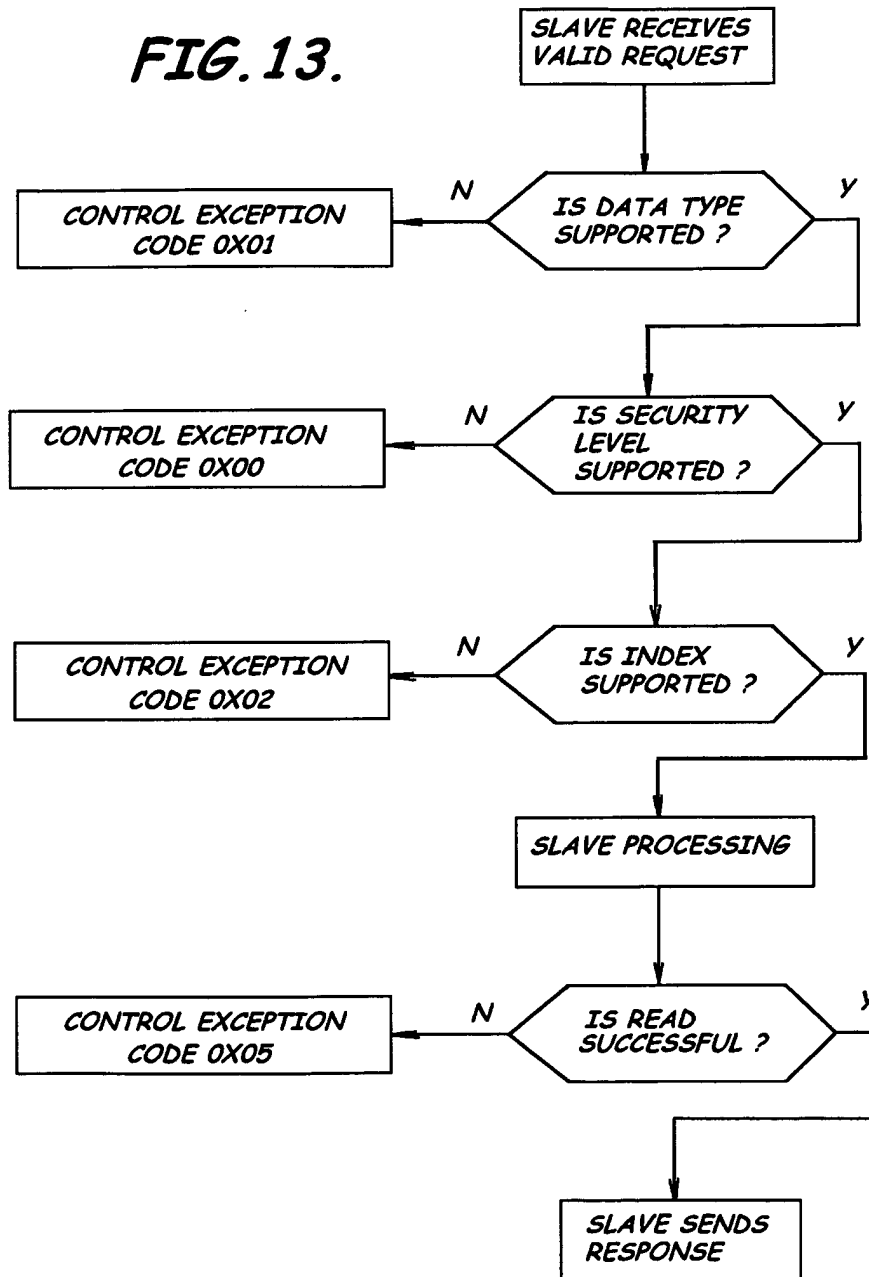
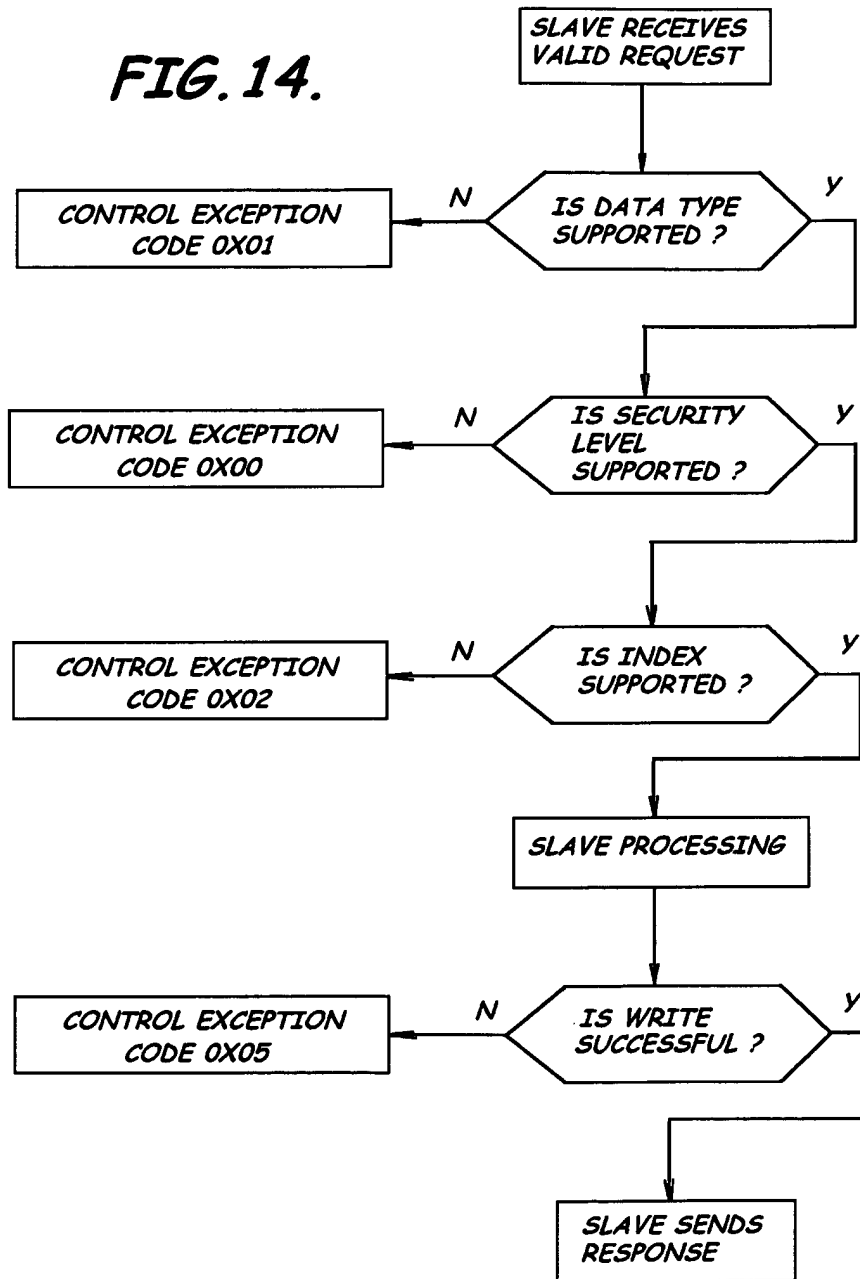
FIG. 13.

FIG. 14.

ETG QNL-RCU-41 Frequency List

RX SETTING	TX SETTING	FREQUENCY
{ 0x3CE521 , 0x3CEA77 }	//	909300000 (0x00)
{ 0x3DE7CF , 0x3DED25 }	//	924200000 (0x01)
{ 0x3CB9B9 , 0x3CBF0F }	//	906800000 (0x02)
{ 0x3D21E5 , 0x3D2739 }	//	912800000 (0x03)
{ 0x3CBB77 , 0x3CC0CB }	//	906900000 (0x04)
{ 0x3D42E1 , 0x3D4837 }	//	914700000 (0x05)
{ 0x3D2E08 , 0x3D3361 }	//	913600000 (0x06)
{ 0x3CBEFF , 0x3CC445 }	//	907100000 (0x07)
{ 0x3E0E01 , 0x3E1357 }	//	926400000 (0x08)
{ 0x3D1E6B , 0x3D23C1 }	//	912600000 (0x09)
{ 0x3CF67D , 0x3CF8D3 }	//	910300000 (0x0A)
{ 0x3D1245 , 0x3D1799 }	//	911800000 (0x0B)
{ 0x3DCA48 , 0x3DCFA1 }	//	922500000 (0x0C)
{ 0x3D15BD , 0x3D1B13 }	//	912100000 (0x0D)
{ 0x3CF839 , 0x3CF8F }	//	910400000 (0x0E)
{ 0x3DCF81 , 0x3DD4D7 }	//	922800000 (0x0F)
{ 0x3DED05 , 0x3DF259 }	//	924500000 (0x10)
{ 0x3CCE8F , 0x3CD3E5 }	//	908000000 (0x11)
{ 0x3D6065 , 0x3D65B9 }	//	916400000 (0x12)
{ 0x3C9389 , 0x3C98DD }	//	904600000 (0x13)
{ 0x3CD681 , 0x3CDAD7 }	//	908400000 (0x14)
{ 0x3E284F , 0x3E2BA5 }	//	927800000 (0x15)
{ 0x3D8853 , 0x3D8DA9 }	//	918700000 (0x16)
{ 0x3DDF21 , 0x3DE477 }	//	923700000 (0x17)
{ 0x3D8F45 , 0x3D9499 }	//	919100000 (0x18)
{ 0x3CB841 , 0x3CB897 }	//	906600000 (0x19)
{ 0x3DA419 , 0x3DA86F }	//	920300000 (0x1A)
{ 0x3D2029 , 0x3D257D }	//	912700000 (0x1B)
{ 0x3CEDCF , 0x3CF325 }	//	909800000 (0x1C)
{ 0x3D0853 , 0x3D10A9 }	//	911500000 (0x1D)
{ 0x3CF149 , 0x3CF69D }	//	910000000 (0x1E)
{ 0x3D6C8B , 0x3D71E1 }	//	917100000 (0x1F)
{ 0x3D255D , 0x3D2AB3 }	//	913000000 (0x20)
{ 0x3D5281 , 0x3D57D7 }	//	915600000 (0x21)
{ 0x3D1779 , 0x3D1CCF }	//	912200000 (0x22)
{ 0x3D8E25 , 0x3DC379 }	//	921800000 (0x23)
{ 0x3CA168 , 0x3CA6C1 }	//	905400000 (0x24)
{ 0x3DE613 , 0x3DEB69 }	//	924100000 (0x25)
{ 0x3DEB40 , 0x3DF09D }	//	924400000 (0x26)
{ 0x3D56F9 , 0x3D5B4F }	//	915800000 (0x27)
{ 0x3D50C5 , 0x3D5619 }	//	915500000 (0x28)
{ 0x3D02A5 , 0x3D07F9 }	//	911000000 (0x29)
{ 0x3E001D , 0x3E0573 }	//	925600000 (0x2A)
{ 0x3C8F13 , 0x3C7469 }	//	902500000 (0x2B)
{ 0x3DA0A1 , 0x3DA5F7 }	//	920100000 (0x2C)
{ 0x3E22D7 , 0x3E282B }	//	927600000 (0x2D)
{ 0x3D3BEF , 0x3D4145 }	//	914300000 (0x2E)
{ 0x3CC5E1 , 0x3CCB37 }	//	907500000 (0x2F)
{ 0x3CDFEB , 0x3CE541 }	//	908000000 (0x30)
{ 0x3D2719 , 0x3D2C8F }	//	913100000 (0x31)
{ 0x3C8C97 , 0x3C81EB }	//	904200000 (0x32)
{ 0x3DD9EB , 0x3DDF41 }	//	923400000 (0x33)
{ 0x3D7DE9 , 0x3D833D }	//	918100000 (0x34)
{ 0x3C7CF7 , 0x3C8248 }	//	903300000 (0x35)

FIG. 15A.

ETG QNL-RCU-41 Frequency List (continued)

RX SETTING	TX SETTING	FREQUENCY
{ 0x3C8545 }	{ 0x3C9A99 }	// 904700000 (0x36)
{ 0x3CFB83 }	{ 0x3D0109 }	// 910800000 (0x37)
{ 0x3E0563 }	{ 0x3E0AA9 }	// 925800000 (0x38)
{ 0x3D8161 }	{ 0x3D86B7 }	// 918300000 (0x39)
{ 0x3D5CEB }	{ 0x3D6241 }	// 916200000 (0x3A)
{ 0x3CC425 }	{ 0x3CC979 }	// 907400000 (0x3B)
{ 0x3DF76F }	{ 0x3DFCC5 }	// 925100000 (0x3C)
{ 0x3D8B6B }	{ 0x3DA0C1 }	// 919800000 (0x3D)
{ 0x3C891D }	{ 0x3C8E73 }	// 904000000 (0x3E)
{ 0x3DA94F }	{ 0x3DAEA5 }	// 920600000 (0x4F)
{ 0x3CEA67 }	{ 0x3CEFA8 }	// 909600000 (0x40)
{ 0x3DC88F }	{ 0x3DCDE5 }	// 922400000 (0x41)
{ 0x3D1401 }	{ 0x3D1957 }	// 912000000 (0x42)
{ 0x3D831D }	{ 0x3D8873 }	// 918400000 (0x43)
{ 0x3D00E9 }	{ 0x3D063D }	// 910900000 (0x44)
{ 0x3D36B9 }	{ 0x3D3C0F }	// 914000000 (0x45)
{ 0x3D6221 }	{ 0x3D6777 }	// 916500000 (0x46)
{ 0x3D97F3 }	{ 0x3D9D49 }	// 919600000 (0x47)
{ 0x3DFCA5 }	{ 0x3E01F9 }	// 925400000 (0x48)
{ 0x3D9637 }	{ 0x3D988B }	// 919500000 (0x49)
{ 0x3DC359 }	{ 0x3DC8AF }	// 922100000 (0x4A)
{ 0x3D23A1 }	{ 0x3D28F7 }	// 912900000 (0x4B)
{ 0x3D84D9 }	{ 0x3D8A2F }	// 918500000 (0x4C)
{ 0x3C85A5 }	{ 0x3C8AF9 }	// 903800000 (0x4D)
{ 0x3D4817 }	{ 0x3D4D6B }	// 915000000 (0x4E)
{ 0x3D081D }	{ 0x3D0873 }	// 911200000 (0x4F)
{ 0x3E08C8 }	{ 0x3E0E21 }	// 926100000 (0x50)
{ 0x3DD4B7 }	{ 0x3DDA0B }	// 923100000 (0x51)
{ 0x3D78F7 }	{ 0x3D7C4B }	// 917700000 (0x52)
{ 0x3D4125 }	{ 0x3D4679 }	// 914600000 (0x53)
{ 0x3E18E5 }	{ 0x3E2139 }	// 927200000 (0x54)
{ 0x3E1337 }	{ 0x3E188B }	// 926700000 (0x55)
{ 0x3D63DD }	{ 0x3D6833 }	// 916600000 (0x56)
{ 0x3D2C4F }	{ 0x3D31A5 }	// 913400000 (0x57)
{ 0x3D78B3 }	{ 0x3D7E09 }	// 917800000 (0x58)
{ 0x3D1937 }	{ 0x3D1E8B }	// 912300000 (0x59)
{ 0x3D8D29 }	{ 0x3DA27D }	// 919900000 (0x5A)
{ 0x3CDE2F }	{ 0x3CE385 }	// 908900000 (0x5B)
{ 0x3D0481 }	{ 0x3D0987 }	// 911100000 (0x5C)
{ 0x3CEC13 }	{ 0x3CF169 }	// 909700000 (0x5D)
{ 0x3D6767 }	{ 0x3D6CAB }	// 918800000 (0x5E)
{ 0x3DC617 }	{ 0x3DCA8B }	// 922200000 (0x5F)
{ 0x3CFD6F }	{ 0x3D02C5 }	// 910700000 (0x60)
{ 0x3D8BCB }	{ 0x3D8121 }	// 910900000 (0x61)
{ 0x3D9EE8 }	{ 0x3DA439 }	// 920000000 (0x62)
{ 0x3CF8F7 }	{ 0x3CFF4B }	// 910500000 (0x63)
{ 0x3D2FC9 }	{ 0x3D351D }	// 913600000 (0x64)
{ 0x3E0397 }	{ 0x3E08EB }	// 925800000 (0x65)
{ 0x3DFAE9 }	{ 0x3E003D }	// 925300000 (0x66)
{ 0x3CD04B }	{ 0x3CD5A1 }	// 908100000 (0x67)
{ 0x3D28D7 }	{ 0x3D2E2B }	// 913200000 (0x68)
{ 0x3DE9DD }	{ 0x3DE633 }	// 923800000 (0x69)
{ 0x3D7539 }	{ 0x3D7A8F }	// 917600000 (0x6A)
{ 0x3DD8A9 }	{ 0x3DE0FD }	// 923500000 (0x6B)
{ 0x3CC78D }	{ 0x3CCCF3 }	// 907600000 (0x6C)
{ 0x3D3877 }	{ 0x3D3DCB }	// 914100000 (0x6D)

FIG. 15B.

ETG QNL-RCU-41 Frequency List (continued)

RX SETTING	TX SETTING	FREQUENCY
{ 0x3D1088	0x3D15DD	} // 911800000 (0x8E)
{ 0x3D88EF	0x3D8E45	} // 921500000 (0x8F)
{ 0x3D2A93	0x3D2FE9	} // 913300000 (0x70)
{ 0x3C77C1	0x3C7D17	} // 903000000 (0x71)
{ 0x3CABD7	0x3CB12B	} // 906000000 (0x72)
{ 0x3CDAB7	0x3CE008	} // 908700000 (0x73)
{ 0x3E2119	0x3E288F	} // 927500000 (0x74)
{ 0x3E0C45	0x3E1199	} // 926300000 (0x75)
{ 0x3D89AF	0x3D9F05	} // 919700000 (0x78)
{ 0x3DD82F	0x3DD085	} // 923300000 (0x77)
{ 0x3C70CF	0x3C7825	} // 902800000 (0x78)
{ 0x3CF305	0x3CF859	} // 910100000 (0x79)
{ 0x3CB108	0x3CB661	} // 906300000 (0x7A)
{ 0x3E1F5D	0x3E2483	} // 927400000 (0x7B)
{ 0x3C8D57	0x3C72AB	} // 902400000 (0x7C)
{ 0x3D3341	0x3D3897	} // 913800000 (0x7D)
{ 0x3D643D	0x3D6993	} // 915700000 (0x7E)
{ 0x3DBFE1	0x3DC537	} // 921800000 (0x7F)
{ 0x3C7EB3	0x3C8409	} // 903400000 (0x80)
{ 0x3DF583	0x3DF809	} // 925000000 (0x81)
{ 0x3DB041	0x3DB597	} // 921000000 (0x82)
{ 0x3C7449	0x3C789D	} // 902800000 (0x83)
{ 0x3CFF2B	0x3D0481	} // 910800000 (0x84)
{ 0x3DFE81	0x3E0387	} // 925500000 (0x85)
{ 0x3CB2C9	0x3CB81D	} // 906400000 (0x86)
{ 0x3CEF8B	0x3CF4E1	} // 909800000 (0x87)
{ 0x3D7FA5	0x31384179	} // 918200000 (0x88)
{ 0x3D8C89	0x3DC1BD	} // 921700000 (0x89)
{ 0x3D3185	0x3D38D9	} // 913700000 (0x8A)
{ 0x3CD209	0x3CD75D	} // 908200000 (0x8B)
{ 0x3DC8D3	0x3DCC29	} // 922300000 (0x8C)
{ 0x3E14F3	0x3E1A49	} // 926800000 (0x8D)
{ 0x3DE88B	0x3DEEE1	} // 924300000 (0x8E)
{ 0x3C806F	0x3C85C5	} // 903500000 (0x8F)
{ 0x3CAD93	0x3CB2E9	} // 908100000 (0x90)
{ 0x3E2808	0x3E2D61	} // 927900000 (0x91)
{ 0x3D0ECB	0x3D1421	} // 911700000 (0x92)
{ 0x3DE299	0x3DE7EF	} // 923900000 (0x93)
{ 0x3DB733	0x3DBC89	} // 921400000 (0x94)
{ 0x3E1A29	0x3E1F7D	} // 927100000 (0x95)
{ 0x3DD13D	0x3DD693	} // 922800000 (0x96)
{ 0x3D3A33	0x3D3F89	} // 914200000 (0x97)
{ 0x3DACC9	0x3DB21D	} // 920800000 (0x98)
{ 0x3D3F69	0x3D44BD	} // 914500000 (0x99)
{ 0x3CA329	0x3CA87D	} // 905500000 (0x9A)
{ 0x3D0997	0x3D0EEB	} // 911400000 (0x9B)
{ 0x3DEEC1	0x3DF417	} // 924600000 (0x9C)
{ 0x3CC859	0x3CCEAF	} // 907700000 (0x9D)
{ 0x3C728B	0x3C77E1	} // 902700000 (0x9E)
{ 0x3D1AF3	0x3D2049	} // 912400000 (0x9F)
{ 0x3DD673	0x3DDBC9	} // 923200000 (0xA0)
{ 0x3D6EA9	0x3D83FD	} // 916300000 (0xA1)
{ 0x3D7005	0x3D7559	} // 917300000 (0xA2)
{ 0x3D488F	0x3D50E5	} // 915200000 (0xA3)
{ 0x3CE365	0x3CE889	} // 908200000 (0xA4)
{ 0x3C9C37	0x3CA18B	} // 905100000 (0xA5)

FIG. 15C.

ETG QNL-RCU-41 Frequency List (continued)

RX SETTING	TX SETTING	FREQUENCY
{ 0x3D6599 }	0x3D6AEF }	// 916700000 (0xA6)
{ 0x3DAB0B }	0x3D8061 }	// 920700000 (0xA7)
{ 0x3C91CB }	0x3C9721 }	// 904500000 (0xAB)
{ 0x3DCDC5 }	0x3DD319 }	// 922700000 (0xA8)
{ 0x3DA793 }	0x3DACE9 }	// 920500000 (0xAA)
{ 0x3C900F }	0x3C9565 }	// 904400000 (0xAB)
{ 0x3C9FAF }	0x3CA505 }	// 905300000 (0xAC)
{ 0x3D4D4B }	0x3D52A1 }	// 915300000 (0xAD)
{ 0x3D1CAF }	0x3D2205 }	// 912500000 (0xAE)
{ 0x3C7839 }	0x3C808F }	// 903200000 (0xAF)
{ 0x3D4859 }	0x3D48AF }	// 914900000 (0xB0)
{ 0x3DF07D }	0x3DF5D3 }	// 924700000 (0xB1)
{ 0x3DD085 }	0x3DE2B9 }	// 923600000 (0xB2)
{ 0x3E1179 }	0x3E16CF }	// 928600000 (0xB3)
{ 0x3DBAAB }	0x3DC001 }	// 921600000 (0xB4)
{ 0x3DD2F9 }	0x3DD84F }	// 923000000 (0xB5)
{ 0x3DF3F7 }	0x3DF84B }	// 924900000 (0xB6)
{ 0x3C8761 }	0x3C8CB7 }	// 903900000 (0xB7)
{ 0x3D6E49 }	0x3D739D }	// 917200000 (0xB8)
{ 0x3D6913 }	0x3D6E69 }	// 916800000 (0xB9)
{ 0x3E070F }	0x3E0C65 }	// 926000000 (0xBA)
{ 0x3C8AD9 }	0x3C902F }	// 904100000 (0xBB)
{ 0x3D3DAB }	0x3D4301 }	// 914400000 (0xBC)
{ 0x3C0C73 }	0x3CE1C9 }	// 908800000 (0xBD)
{ 0x3D6ACF }	0x3D7025 }	// 917000000 (0xBE)
{ 0x3DF239 }	0x3DF78F }	// 924800000 (0xBF)
{ 0x3E2493 }	0x3E29E9 }	// 927700000 (0xC0)
{ 0x3E1868 }	0x3E1DC1 }	// 927000000 (0xC1)
{ 0x3D49D3 }	0x3D4F29 }	// 915100000 (0xC2)
{ 0x3D4F09 }	0x3D545D }	// 915400000 (0xC3)
{ 0x3CCB17 }	0x3CD06B }	// 907800000 (0xC4)
{ 0x3D92BD }	0x3D9813 }	// 919300000 (0xC5)
{ 0x3C9DF3 }	0x3CA349 }	// 905200000 (0xC6)
{ 0x3D07D9 }	0x3D0D2F }	// 911300000 (0xC7)
{ 0x3D8D89 }	0x3D92DD }	// 919000000 (0xC8)
{ 0x3DF92B }	0x3DFE81 }	// 925200000 (0xC9)
{ 0x3C8D33 }	0x3CC289 }	// 907000000 (0xCA)
{ 0x3D737D }	0x3D78D3 }	// 917500000 (0xCB)
{ 0x3D34FD }	0x3D3A53 }	// 913900000 (0xCC)
{ 0x3CC0AB }	0x3CC801 }	// 907200000 (0xCD)
{ 0x3C9701 }	0x3C9C67 }	// 904800000 (0xCE)
{ 0x3CAA19 }	0x3CAF6F }	// 905900000 (0xCF)
{ 0x3DA5D7 }	0x3DAB2B }	// 920400000 (0xD0)
{ 0x3C87FD }	0x3C8D53 }	// 906700000 (0xD1)
{ 0x3CE899 }	0x3CEDEF }	// 909500000 (0xD2)
{ 0x3CCCD3 }	0x3CD229 }	// 907900000 (0xD3)
{ 0x3E01D9 }	0x3E072F }	// 925700000 (0xD4)
{ 0x3C7605 }	0x3C7B69 }	// 902900000 (0xD5)
{ 0x3D5973 }	0x3D5EC9 }	// 916000000 (0xD6)
{ 0x3C9A79 }	0x3C9FCF }	// 905000000 (0xD7)
{ 0x3D71C1 }	0x3D7717 }	// 917400000 (0xD8)
{ 0x3D6B2F }	0x3D6985 }	// 916100000 (0xD9)
{ 0x3C797D }	0x3C7ED3 }	// 903100000 (0xDA)
{ 0x3D8697 }	0x3D88EB }	// 918800000 (0xDB)
{ 0x3CB485 }	0x3CB9D9 }	// 906500000 (0xDC)
{ 0x3D9101 }	0x3D9657 }	// 918200000 (0xDD)

FIG.15D.

ETG QNL-RCU-41 Frequency List (continued)

RX SETTING	TX SETTING	FREQUENCY
{ 0x3DE467 }	{ 0x3DE8A8 }	// 92400000 (0xDE)
{ 0x3CA85D }	{ 0x3CADB3 }	// 90580000 (0xDF)
{ 0x3D81FD }	{ 0x3D8753 }	// 92110000 (0xE0)
{ 0x3DC19D }	{ 0x3DC6F3 }	// 92200000 (0xE1)
{ 0x3E0F8D }	{ 0x3E1513 }	// 92850000 (0xE2)
{ 0x3D0D0F }	{ 0x3D1285 }	// 91160000 (0xE3)
{ 0x3D7A6F }	{ 0x3D7FC6 }	// 91790000 (0xE4)
{ 0x3C83E9 }	{ 0x3C893D }	// 90370000 (0xE5)
{ 0x3D7C2B }	{ 0x3D8181 }	// 91800000 (0xE6)
{ 0x3C888D }	{ 0x3C9E13 }	// 90480000 (0xE7)
{ 0x3CAF4F }	{ 0x3CB4A5 }	// 90820000 (0xE8)
{ 0x3D8389 }	{ 0x3D890F }	// 92120000 (0xE9)
{ 0x3E1DA1 }	{ 0x3E22F7 }	// 92730000 (0xEA)
{ 0x3CA6A1 }	{ 0x3CABF7 }	// 90570000 (0xEB)
{ 0x3CF4C1 }	{ 0x3CFA17 }	// 91020000 (0xEC)
{ 0x3DAE85 }	{ 0x3D83D9 }	// 92090000 (0xED)
{ 0x3CA4E5 }	{ 0x3CAA39 }	// 90560000 (0xEE)
{ 0x3C8E53 }	{ 0x3C83A9 }	// 90430000 (0xEF)
{ 0x3E0A89 }	{ 0x3E0FDD }	// 92820000 (0xF0)
{ 0x3D8A0F }	{ 0x3D8F65 }	// 91880000 (0xF1)
{ 0x3CD73D }	{ 0x3CDC93 }	// 90850000 (0xF2)
{ 0x3DCC09 }	{ 0x3DD15D }	// 92260000 (0xF3)
{ 0x3D449D }	{ 0x3D49F3 }	// 91480000 (0xF4)
{ 0x3CD8F9 }	{ 0x3CDE4F }	// 90860000 (0xF5)
{ 0x3E16AF }	{ 0x3E1C05 }	// 92890000 (0xF6)
{ 0x3CC26 }	{ 0x3CC7BD }	// 90730000 (0xF7)
{ 0x3D9479 }	{ 0x3D99CF }	// 91940000 (0xF8)
{ 0x3CD3C5 }	{ 0x3CD919 }	// 90830000 (0xF9)
{ 0x3CE1A9 }	{ 0x3CE6FD }	// 90910000 (0xFA)
{ 0x3D8577 }	{ 0x3DBACB }	// 92130000 (0xFB)
{ 0x3C822B }	{ 0x3C8781 }	// 90360000 (0xFC)
{ 0x3D57B7 }	{ 0x3D5D0B }	// 91590000 (0xFD)
{ 0x3CE8DD }	{ 0x3CEC33 }	// 90940000 (0xFE)
{ 0x3DA25D }	{ 0x3DA7B3 }	// 92020000 (0xFF)

FIG. 15E.